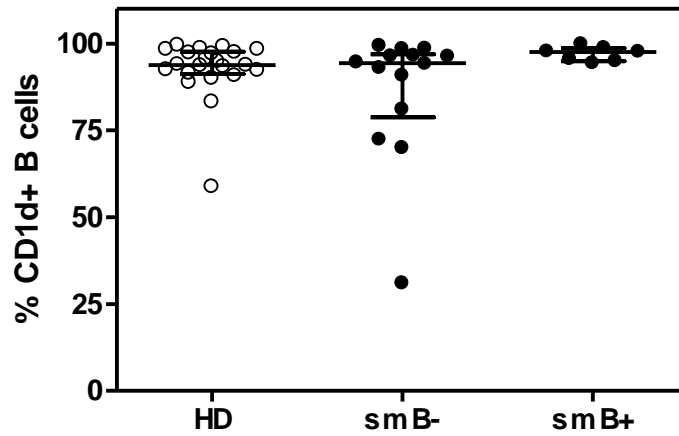
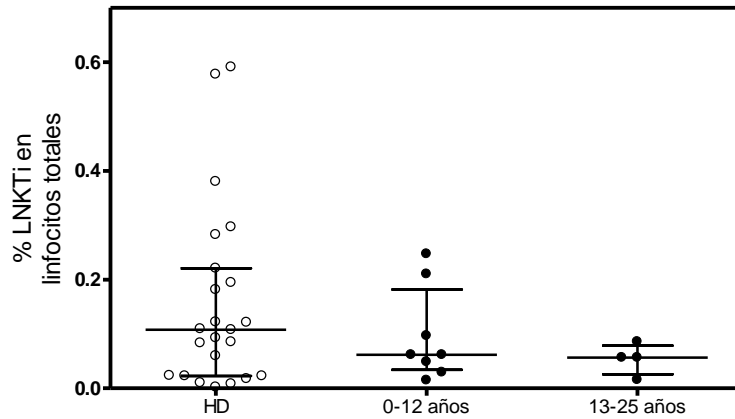


## ANEXOS



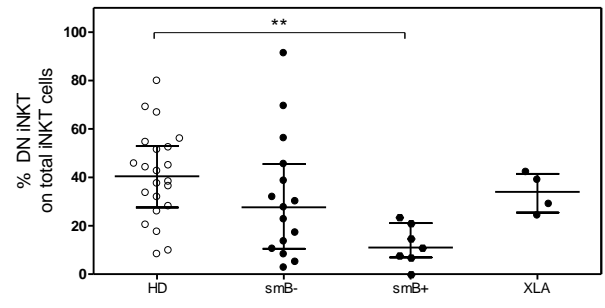
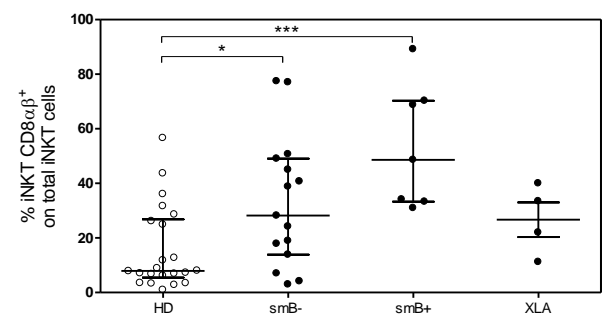
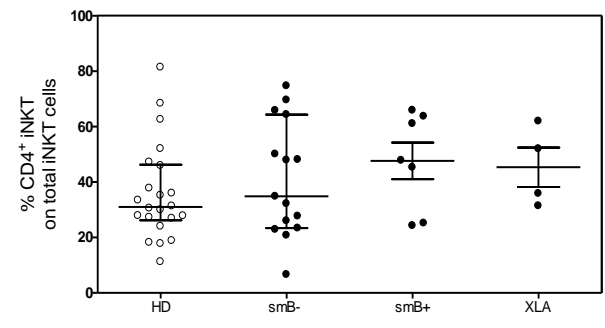
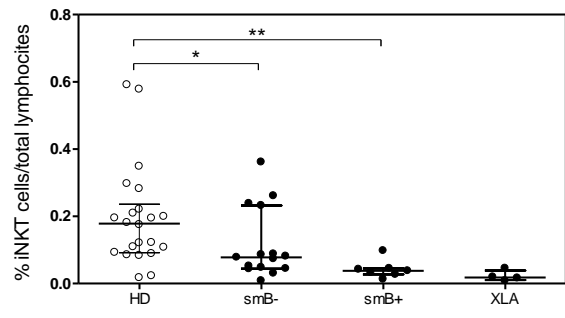
**Figura A. Porcentaje de expresión de CD1d en los LB en SP de pacientes con ICV.**

La expresión de CD1d fue determinada en los LB de SP de pacientes con ICV y DS utilizando anticuerpos monoclonales y analizados por citometría de flujo (DS, n=22; pacientes ICV smB-, n=15, smB+, n=7). En la figura se observa el porcentaje de expresión de CD1d en los LB. Círculos abiertos y cerrados, representan los datos de los DS y los pacientes con ICV, respectivamente.



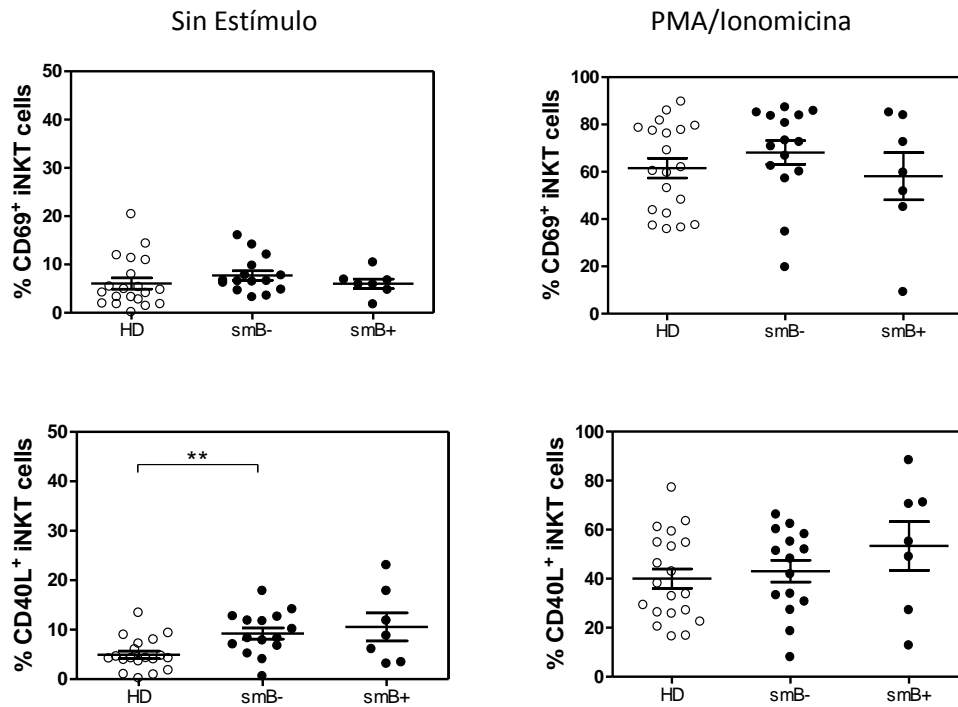
**Figura B. Porcentaje de LNKTi en SP de pacientes con ICV de aparición temprana o tardía.**

El porcentaje de LNKTi en SP de pacientes con ICV y DS fue determinada utilizando anticuerpos monoclonales y analizada por citometría de flujo (DS, n=22; pacientes ICV smB-, n=15, smB+, n=7). En la figura se observa el porcentaje de LNKTi en DS y en los pacientes con ICV clasificados como de aparición temprana (0-12 años) o tardía (13-25 años). Círculos abiertos y cerrados, representan los datos de los DS y los pacientes con ICV, respectivamente.



**Figura C. Porcentaje de LNKTi totales y sus subpoblaciones en SP de pacientes con ICV y XLA.**

El porcentaje de las subpoblaciones de LNKTi en SP de pacientes con ICV y DS fue determinada utilizando anticuerpos monoclonales y analizada por citometría de flujo (DS, n=22; pacientes ICV smB-, n=15, smB+, n=7). En la figura I. se observa el porcentaje de LNKTi totales en II. CD4<sup>+</sup>, III. CD8 $\alpha$ / $\beta$ <sup>+</sup> y IV. DN en SP de todos los grupos de estudio. Círculos abiertos y cerrados, representan los datos de los DS y los pacientes con ICV, respectivamente. Los valores de P fueron calculados por t-student o Mann Whitney test. . \* P <0.05; \*\* P < 0.001; \*\*\* P < 0.0001.



**Figura D. Porcentaje de LNKTi activados antes y después del estímulo.**

CMSP de DS y pacientes, fueron cultivados con o sin PMA/Ionomicina y posteriormente teñidos para la detección extracelular de CD3, iTCR, CD40L y CD69. (DS, n=17; Pacientes ICV, smB-, n=11 y smB+, n=6). En la figura se observa la expresión de CD69 y CD40L en los LNKTi en ausencia o presencia del estímulo. Círculos abiertos y cerrados, representan los datos de los DS y los pacientes con ICV, respectivamente. Los valores de P fueron calculados por t-student o Mann Whitney test. \*\* P < 0.001.